

การสังเคราะห์สารอะโนมัติกจากแก๊สปีโตรเลียมเหลว  
บนตัวเร่งปฏิกิริยาซีไอໄලต์แบบ MFI ที่มีโลหะผสมอยู่

นายอภิสิทธิ์ ศรีภูสิตโต

วิทยานิพนธ์นี้เป็นส่วนหนึ่งของการศึกษาตามหลักสูตรปริญญาวิศวกรรมศาสตรมหาบัณฑิต  
ภาควิชาวิศวกรรมเคมี

บัณฑิตวิทยาลัย จุฬาลงกรณ์มหาวิทยาลัย

พ.ศ.2539

ISBN 974-633-460-3

ลิขสิทธิ์ของบัณฑิตวิทยาลัย จุฬาลงกรณ์มหาวิทยาลัย

**AROMATIZATION OF LIQUEFIED PETROLEUM GAS OVER METAL  
CONTAINING MFI-TYPE ZEOLITE CATALYSTS**

**Mr. Apisit Sripusitto**

**A Thesis Submitted in Partial Fulfillment of the Requirements**

**for the Degree of Master of Engineering**

**Department of Chemical Engineering**

**Graduate School**

**Chulalongkorn University**

**1996**

**ISBN 974-633-460-3**

Thesis Title                    Aromatization of Liquefied Petroleum Gas over Metal  
                                    Containing MFI-Type Zeolite Catalysts  
By                              Mr. Apisit Sripusitto  
Department                    Chemical Engineering  
Thesis Advisor                Suphot Phatanasri, Dr. Eng.  
Thesis Co-advisor            Professor Piyasan Praserthdam, Dr. Ing.

---

Accepted by the Graduate School, Chulalongkorn University in Partial  
Fulfillment of the Requirements for the Master's degree.

*Santi Thoongsuwan*

..... Dean of Graduate School  
(Associate Professor Santi Thoongsuwan, Ph.D.)

Thesis Committee

*Chirakarn Muangnapoh* ..... Chairman

(Associate Professor Chirakarn Muangnapoh, Dr. Ing.)

*S. Phatanasri* .....

..... Thesis Advisor  
(Suphot Phatanasri, Dr. Eng.)

*Piyasan Praserthdam*

..... Thesis Co-advisor  
(Professor Piyasan Praserthdam, Dr. Ing.)

*Wiwut Tanthanichakoon* .....

..... Member  
(Professor Wiwut Tanthanichakoon, Ph.D.)

# พิมพ์ต้นฉบับทกดย่อวิทยานิพนธ์ภายในกรอบสีเขียวนี้เพียงแผ่นเดียว

อภิสิทธิ์ ศรีภูมิสิติ : การสังเคราะห์สารอะโรมาติกจากแก๊สปีโตรเลียมเหลวบนตัวเร่งปฏิกิริยา  
ชีโอลิเต้แบบ MFI ที่มีโลหะผสมอยู่ (AROMATIZATION OF LIQUEFIED PETROLEUM GAS  
OVER METAL CONTAINING MFI-TYPE ZEOLITE CATALYSTS)  
อ.ที่ปรึกษา : ดร. สุพจน์ พัฒนาศรี, อ.ที่ปรึกษาร่วม : ศ. ดร. ปิยะสาร ประเสริฐธรรม,  
127 หน้า, ISBN 974-633-460-3

การเปลี่ยนแก๊สปีโตรเลียมเหลว (LPG) ได้แก่ โพรเพน บิวเทน และแก๊สพาราфинทั้งสอง ไปเป็นสารอะโรมาติก บนตัวเร่งปฏิกิริยาแบบเอ็มเอฟไอ (MFI หรือ ZSM-5) ที่มีโลหะต่างๆ ผสมอยู่ พนว่าสังกะสี(Zn) และแกลเลียม(Ga) ช่วยเพิ่มทั้งความว่องไวและการเลือกเกิดของการสังเคราะห์อะโรมาติกจากโพรเพน และถึงแม้จะเดินสังกะสี หรือแกลเลียม ลงในตัวเร่งปฏิกิริยาเอ็มเอฟไอ โดยการแลกเปลี่ยน ไอออนเพียงเล็กน้อยก็ยังคงให้การเลือกเกิดอะโรมาติก (ส่วนใหญ่ได้แก่ เบนซิน โทลูอิน และ ไซลิน (BTX)) สูงกว่าใน สังกะสีชิลิเกตหรือ แกลเลียมชิลิเกต ซึ่งอาจเกิดจากในสังกะสีหรือแกลเลียม แลกเปลี่ยน ไอออนกับตัวเร่งปฏิกิริยาเอ็มเอฟไอ มีอัตราส่วน(AI) ซึ่งช่วยเพิ่มค่าความเป็นกรดของตัวเร่งปฏิกิริยา และเพื่อช่วยลดขั้นตอนในการเตรียมตัวเร่งปฏิกิริยาลง ให้พัฒนาโดยเตรียม สังกะสีอะลูมิเนียมชิลิเกต และ แกลเลียมอะลูมิเนียมชิลิเกตขึ้น และพบว่าแอมโมเนียมฟอร์มของสังกะสีอะลูมิเนียมชิลิเกต ซึ่งมีอัตราส่วนชิลิเกตต่อสังกะสีเท่ากับ 150 และชิลิเกตต่ออะลูมิเนียมเท่ากับ 40 และไฮโคลเรนฟอร์มของ แกลเลียมอะลูมิเนียมชิลิเกต ซึ่งมีอัตราส่วนชิลิเกตต่อแกลเลียมเท่ากับ 155 และชิลิเกตต่ออะลูมิเนียมเท่ากับ 40 จะให้ผลการเลือกเกิดของเบนซิน โทลูอิน และ ไซลิน สูงถึง 51 % และ 64 % ตามลำดับ ซึ่งใกล้เคียงกับค่าที่ได้จาก สังกะสี หรือ แกลเลียม แลกเปลี่ยน ไอออนกับตัวเร่งปฏิกิริยาเอ็มเอฟไอ ที่มีปริมาณสังกะสีหรือ แกลเลียม ใกล้เคียงกัน แต่ขั้นตอนในการเตรียมตัวเร่งปฏิกิริยาน้อยกว่า ใน การเดินแพลทินัมลงใน แอมโมเนียมฟอร์มของ สังกะสีอะลูมิเนียมชิลิเกต และไฮโคลเรนฟอร์มของ แกลเลียมอะลูมิเนียมชิลิเกต พนว่าไม่ได้ส่งผลดีต่อประสิทธิภาพ และเสถียรภาพของตัวเร่งปฏิกิริยา ทั้งนี้ อาจเนื่องจากบทบาทของอะลูมิเนียมที่มีอยู่ใน โครงสร้างของชีโอลิเต้ ในการส่งผ่านไฮโคลเรนไปยังพื้นผิวดองตัวเร่งปฏิกิริยาเพื่อผลการเกิดໂคิก โดยเฉพาะอย่างยิ่งในตัวเร่งปฏิกิริยาไฮโคลเรนฟอร์มของแกลเลียมอะลูมิเนียมชิลิเกต บทบาทที่ประสานสอดคล้องระหว่าง อะลูมิเนียม และแกลเลียม ใน การผลการเกิดໂคิกน่าจะดีกว่าบทบาทของแพลทินัม ด้วยเหตุนี้จึงไม่พ宥ผลในการผลการໂคิกของแพลทินัมในตัวเร่งปฏิกิริยาดังกล่าว

# # C616723 : MAJOR CHEMICAL ENGINEERING

KEY WORD: AROMATIZATION/ LPG/ MFI-TYPE ZEOLITE

APISIT SRIPUSITTO : AROMATIZATION OF LIQUEFIED PETROLEUM GAS  
OVER METAL CONTAINING MFI-TYPE ZEOLITE CATALYSTS.

THESIS ADVISOR : SUPHOT PHATANASRI, Dr. Eng.,

THESIS CO-ADVISOR : PROF. PIYASAN PRASERTHDAM, Dr. Ing.

127 pp. ISBN 974-633-460-3

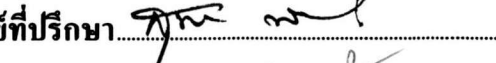
The conversion of liquefied petroleum gas (LPG) such as propane, butane and their mixtures to aromatic hydrocarbons was investigated over MFI-type (ZSM-5) catalysts containing various metals. It has been shown that zinc and gallium improved both the activity and selectivity of propane aromatization. Even with less amount of Zn or Ga loading, Zn or Ga exchanged MFI exhibited higher selectivity for aromatics, mainly benzene, toluene, and xylene (BTX), than that of Zn-silicate or Ga-silicate. This may be attributed to the presence of Al in Zn or Ga exchanged MFI which increases the catalyst acidity. Further development was done by preparing Zn.Al- or Ga.Al-silicates with purpose of minimizing the catalyst preparation procedure. It has been found that NH<sub>4</sub>-Zn.Al-silicate having an Si/Zn ratio of 150 and an Si/Al ratio of 40 and H-Ga.Al-silicate having an Si/Ga ratio of 155 and an Si/Al ratio of 40 exerted considerably high selectivity for aromatics, ca. 51% and 64% of BTX respectively. This selectivity was comparable to that of Zn or Ga exchanged MFI with the same amount of Zn or Ga loading. However, the bimetallosilicate catalysts can be prepared in only one step crystallization and thus minimizing the catalyst preparation procedure. The introduction of platinum into NH<sub>4</sub>-Zn.Al-silicate and H-Ga.Al-silicate by ion-exchange did not give the beneficial effect to enhance the catalyst performance and the stability of catalyst. This was attributed to the presence of Al in zeolite framework which facilitates the hydrogen transfer to the coke precursors on the catalyst surface. In particular, such concerted role of Al in combination with Ga on coke prevention in H-Ga.Al-silicate can be expected to predominate the corresponding role of Pt, and thus the promoting role of Pt on coke prevention was not observed in this catalyst.

ภาควิชา..... วิศวกรรมเคมี .....

สาขาวิชา..... วิศวกรรมเคมี .....

ปีการศึกษา..... 2538 .....

ลายมือชื่อนิสิต..... 

ลายมือชื่ออาจารย์ที่ปรึกษา..... 

ลายมือชื่ออาจารย์ที่ปรึกษาร่วม..... 

## **ACKNOWLEDGMENTS**

The author would like to express his deepest gratitude to Dr. Suphot Phatanasri, his advisor, for his continuous guidance, enormous number of invaluable discussions, helpful suggestions and warm encouragement. He wishes to give his gratitude to Professor Dr. Piyasan Praserthdam, the thesis co-advisor, for his kind guidance and encouragement. In addition, he is also grateful to Associate Professor Dr. Chirakarn Muangnapoh and Professor Dr. Wiwut Tanthapanichakoon for serving as chairman and member of the thesis committee, respectively, whose comments are especially helpful.

Sincere thanks are made to Miss Dusanee Takoontmahatano for her valuable suggestions and to all the member of Petrochemical Engineering Research Laboratory led by Professor Piyasan Praserthdam for their collaborations.

This research has been supported by The Hitachi Scholarship Foundation and National Science and Technology Development Agency. The author would like to express his deep appreciation herein.

Finally, the author expresses his sincere thanks to his parents and everyone in his family for their unfailing understanding and affectionate encouragements.

## CONTENTS

	PAGE
<b>ABSTRACT (IN THAI)</b>	<b>i</b>
<b>ABSTRACT (IN ENGLISH)</b>	<b>ii</b>
<b>ACKNOWLEDGMENTS</b>	<b>iii</b>
<b>CONTENTS</b>	<b>iv</b>
<b>LIST OF TABLES</b>	<b>viii</b>
<b>LIST OF FIGURES</b>	<b>ix</b>
<b>CHAPTER</b>	
<b>I. INTRODUCTION .....</b>	<b>1</b>
<b>II. LITERATURE REVIEWS .....</b>	<b>4</b>
<b>III. THEORY .....</b>	<b>13</b>
<b>3.1 Zeolites.....</b>	<b>13</b>
<b>3.1.1 Structure of Zeolite .....</b>	<b>14</b>
<b>3.1.2 Silicalite and ZSM-5 .....</b>	<b>19</b>
<b>3.2 Zeolites as Catalysts .....</b>	<b>21</b>
<b>3.2.1 Potential Versatility of Zeolites as Catalysts .....</b>	<b>21</b>
<b>3.3 Zeolite Active Sites .....</b>	<b>25</b>
<b>3.3.1 Acid Sites .....</b>	<b>25</b>
<b>3.3.2 Generation of Acid Centers .....</b>	<b>26</b>
<b>3.3.3 Basic Sites .....</b>	<b>29</b>
<b>3.4 Shape-Selective Catalysis .....</b>	<b>30</b>
<b>3.5 Non-aluminosilicate Molecular Sieves .....</b>	<b>34</b>
<b>3.6 Acidity of Metallosilicate .....</b>	<b>36</b>
<b>3.7 Aromatic Hydrocarbons .....</b>	<b>39</b>
<b>3.7.1 Aromatic Character. The Huckel <math>4n+2</math> rule .....</b>	<b>41</b>
<b>3.7.2 Production of Aromatic Hydrocarbons with Zeolites .</b>	<b>42</b>

CHAPTER	PAGE
3.8 Aromatization of Propane on H-ZSM-5 Reaction-Pathway-Mechanisms .....	47
IV. EXPERIMENTS .....	52
4.1 Catalyst Preparation .....	52
4.1.1 Preparation of Decantation Solution and Gel Solution .....	52
4.1.2 Crystallization .....	55
4.1.3 Catalysts Calcination .....	55
4.1.4 Ammonium Ion-exchange of Na-form Catalysts.....	57
4.1.5 Catalysts Calcination .....	57
4.2 Platinum Loading by Ion-exchange .....	57
4.3 Metal Loading by Ion-exchange .....	57
4.4 Aromatization of Liquefied Petroleum Gas .....	58
4.4.1 Chemicals and Reagents .....	58
4.4.2 Instruments and Apparatus .....	58
4.4.3 Reaction Method .....	60
4.5 Characterization of the Catalysts .....	61
4.5.1 BET Surface Area Measurement .....	61
4.5.2 X-ray Diffraction Patterns .....	62
4.5.3 Morphology .....	62
4.5.4 Chemical Analysis .....	62
4.5.5 Acidity .....	63
V. RESULTS AND DISCUSSIONS .....	65
5.1 Characterization of the Catalysts .....	66
5.1.1 X-ray Diffraction Patterns .....	66
5.1.2 Morphology .....	66
5.1.3 BET Surface Area .....	69

CHAPTER	PAGE
5.1.4 Chemical Composition .....	74
5.1.5 Acidity .....	75
5.2 Propane Aromatization over Various Metal Ion-exchanged with ZSM-5 Catalysts .....	77
5.2.1 Effect of Various Metal Ion-exchanged NH <sub>4</sub> -ZSM-5 on Aromatization of Propane .....	77
5.2.2 Effect of Various Metal Ion-exchanged H-ZSM-5 on Aromatization of Propane .....	78
5.3 Effect of Zinc Loading Amount in NH <sub>4</sub> -ZSM-5 Catalysts .....	79
5.4 Effect of Gallium Loading Amount in H-ZSM-5 Catalysts .....	81
5.5 Effect of Zinc Introduction By Incorporation and Ion-exchange Method .....	81
5.6 Effect of Gallium Introduction By Incorporation and Ion-exchange Method .....	84
5.7 Catalyst Performance of Zn.Al-silicate Catalysts .....	84
5.8 Catalyst Performance of Ga.Al-silicate Catalysts .....	86
5.9 Effect of Reaction Temperature on the Product Distribution of Propane Aromatization .....	90
5.10 Effect of GHSV on the Product Distribution of Propane Aromatization .....	94
5.11 Effect of Feed Composition on the Aromatization Reaction .....	94
5.12 Effect of Time on Stream on Product Distribution of the Optimum Catalysts .....	94

CHAPTER	PAGE
5.13 Effect of Platinum Loading on NH <sub>4</sub> -Zn-Al-silicate and H-Ga-Al-silicate .....	102
VI. CONCLUSIONS AND RECOMMENDATION .....	106
REFERENCES .....	109
APPENDIX :	
A SAMPLE OF CALCULATION	
A-1 Calculation of Si/Metal Ratio for Metallosilicates Preparation .....	115
A-2 Calculation of Metal Ion-exchange ZSM-5 and Metallosilicates .....	117
A-3 NH <sub>3</sub> Temperature Programmed Desorption Calculation .....	119
A-4 Calculation of Reaction Flow Rate .....	120
A-5 Calculation of Conversion and Hydrocarbon Distribution of Aromatization Reaction .....	121
VITA .....	127

## LIST OF TABLES

TABLE	PAGE
3.1 Zeolite and their secondary building units .....	16
3.2 Correlation between zeolite properties and catalytic functionality .....	22
3.3 Kinetic diameters of various molecular based on the Lennard-Jones relationship .....	31
3.4 Shape of the pore mouth opening of known zeolite structures .....	33
3.5 Product distribution of the conversion of 1-butene over H-ZSM-5, H-[B]-ZSM-5 and Zn-[B]-ZSM-5 .....	37
4.1 Reagents used for the catalysts preparation .....	54
4.2 Operation conditions for gas chromatograph .....	59
5.1 BET surface areas of the catalysts .....	74
5.2 The metal contents of various catalysts which were measured by atomic absorption spectrometry method .....	75
5.3 Performance of various metal ion-exchanged NH <sub>4</sub> -ZSM-5 for propane conversion .....	77
5.4 Performance of various metal ion-exchanged H-ZSM-5 for propane conversion .....	78

## LIST OF FIGURES

FIGURE	PAGE
3.1 SiO <sub>4</sub> or AlO <sub>4</sub> tetrahedra .....	14
3.2 Secondary building units (SBU's) found in zeolite structure .....	15
3.3 Typical zeolite pore geometries .....	17
3.4 Small pore zeolites (a) Erionite framework (b) Chabazite framework (c) Chabazite cavity .....	18
3.5 ZSM-5 and ZSM-11 channel system .....	19
3.6 Large pore zeolites (a) Mordenite framework (b) Faujasite framework ....	19
3.7 The chain-type building block formed from the secondary building units .....	20
3.8 Schematic diagram of silicate layers .....	20
3.9 Three dimensional structure of silicate (ZSM-5) .....	21
3.10 Diagram of the surface of a zeolite framework .....	27
3.11 Water molecules coordinated to polyvalent cation are dissociated by heat treatment yielding Bronsted acidity .....	27
3.12 Lewis acid site developed by dehydroxylation of Bronsted acid site .....	28
3.13 Steam dealumination process in zeolite .....	29
3.14 The enhancement of acid strength of OH groups by their interaction with dislodged aluminum species .....	29
3.15 Diagram depicting the three type of selectivity .....	30
3.16 Correlation between pore size(s) of various zeolite and kinetic diameter of some molecules .....	32
3.17 A comparison of natural zeolites known and the number of zeolites synthesized within the last 30 years with the number of recently patented non-zeolite molecular sieves .....	35

FIGURE	PAGE
3.18 Temperature programmed desorption of ammonia from metallosilicate .....	36
3.19 Flow diagram for the Mobil Oil fixed-bed process .....	43
3.20 UOP/BP Cyclar Process for LPG aromatization .....	45
3.21 Aromatization of propane on H-ZSM-5, reaction pathway .....	47
3.22 Yields of the primary (a) and secondary (b) products of propane transformation on H-ZSM-5 at 530 °C .....	48
4.1 Preparation procedure of MFI-type zeolite catalysts by rapid crystallization .....	53
4.2 A set of apparatus used for preparation of supernatant solution and gel precipitation as providing for the rapid crystallization .....	56
4.3 A powder miller (Yamato-Nitto, UT-22) .....	56
4.4 A set of apparatus used for preparation of metal ion exchanged on catalyst (a) A diagram for metal ion exchanged on catalyst (b) .....	58
4.5 Schematic diagram of the reaction apparatus for the aromatization .....	61
4.6 Temperature program for the NH <sub>3</sub> -TPD measurement .....	64
5.1 X-ray diffraction pattern of the catalysts .....	67
5.2 SEM photographs of the catalysts .....	69
5.3 TPD profile of desorbed NH <sub>3</sub> from the catalysts .....	76
5.4 Propane aromatization on Zn/NH <sub>4</sub> -ZSM-5 catalysts with various Zn loading content .....	80
5.5 Propane aromatization on Ga/H-ZSM-5 catalysts with various Ga loading content .....	82
5.6 Propane aromatization on ZSM-5 and Zn-containing MFI catalysts .....	83
5.7 Propane aromatization on H-ZSM-5 and Ga-containing MFI catalysts .....	85
5.8 Propane aromatization on a) NH <sub>4</sub> -Zn-Al-silicate catalysts b) H-Zn-Al-silicate catalysts .....	87
5.9 Effect of Al in propane aromatization on NH <sub>4</sub> -Zn-Al-silicate catalysts .....	88

FIGURE	PAGE
5.10 Propane aromatization on H-Ga.Al-silicate catalysts .....	89
5.11 Effect of Al in propane aromatization on H-Ga.Al-silicate catalysts .....	91
5.12 Effect of Al in propane aromatization on NH <sub>4</sub> -Zn.Al-silicate catalyst (Si/Zn = 150, Si/Al = 40) at various reaction temperatures .....	92
5.13 Effect of Al in propane aromatization on H-Ga.Al-silicate catalyst (Si/Ga = 155, Si/Al = 40) at various reaction temperatures .....	93
5.14 Effect of Al in propane aromatization on NH <sub>4</sub> -Zn.Al-silicate catalyst (Si/Zn = 150, Si/Al = 40) at various space velocities .....	95
5.15 Effect of Al in propane aromatization on H-Ga.Al-silicate catalyst (Si/Ga = 155, Si/Al = 40) at various space velocities .....	96
5.16 Aromatization of propane, butane, and their mixture on NH <sub>4</sub> -Zn.Al- silicate catalyst (Si/Zn = 150, Si/Al = 40) .....	97
5.17 Aromatization of propane, butane, and their mixture on H-Ga.Al- silicate catalyst (Si/Ga = 155, Si/Al = 40) .....	98
5.18 Propane aromatization on NH <sub>4</sub> -Zn.Al-silicate catalyst .....	100
5.19 Propane aromatization on H-Ga.Al-silicate catalyst .....	101
5.20 Propane aromatization on Pt/NH <sub>4</sub> -Zn.Al-silicate catalyst .....	103
5.21 Propane aromatization on Pt/H-Ga.Al-silicate catalyst .....	104
A-3 Plot of weight loss and temperature versus time .....	119
A-5.1 Chromatogram of feed from VZ-10 column .....	122
A-5.2 Chromatogram of product from VZ-10 column .....	122
A-5.3 Chromatogram of product from Silicon OV-1 column .....	124